

4. Moleküle und Festkörper

Prof. David Hunger

Physikalisches Institut, KIT Fakultät für Physik

4.4. Festkörper



Kristalle als Beugungsgitter



Beugungsexperimente zur Klärung der Kristallstruktur

Strahlung mit ausreichend kurzer Wellenlänge

- Röntgenstrahlung (Photonen)
- Elektronen (Oberfläche)
- Neutronen
- deBroglie Beziehung für Photonen $\lambda = \frac{h}{p}$

$$E = pc = \frac{2\pi\hbar c}{\lambda}$$

- Wellenlänge in Größenordnung des Gitterabstandes
- **2.B.** $\lambda = 0.1 \ nm \rightarrow E = 12.4 \ keV$

Max von Laue (1912, Nobelpreis 1914)

Röntgenbeugung an Kristallen

→ Nachweis der periodischen Kristallstruktur

M. von Laue



nobelprize.org

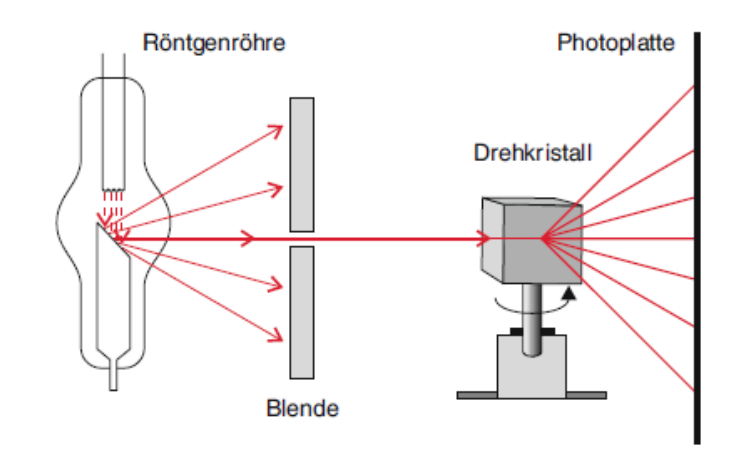
Bragg Reflexion



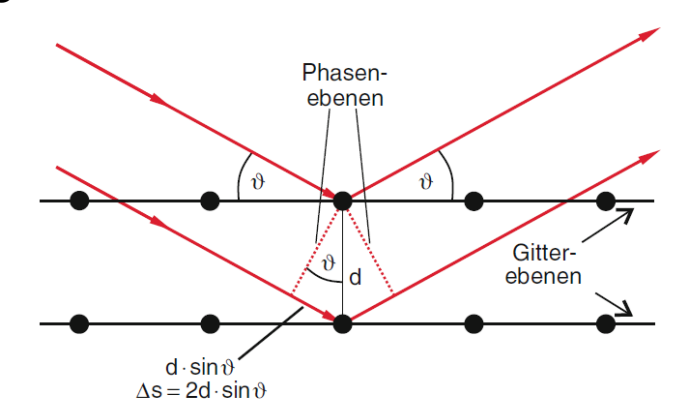
Röntgenbeugung

- Beugung an räumlicher Struktur (nicht an Oberfläche wie in der Optik)
- konstruktiver Inteferenz von Röntgenwellen Bragg Bedingung

$$2d \sin \theta = m\lambda$$
, $m = 1,2,3,...$



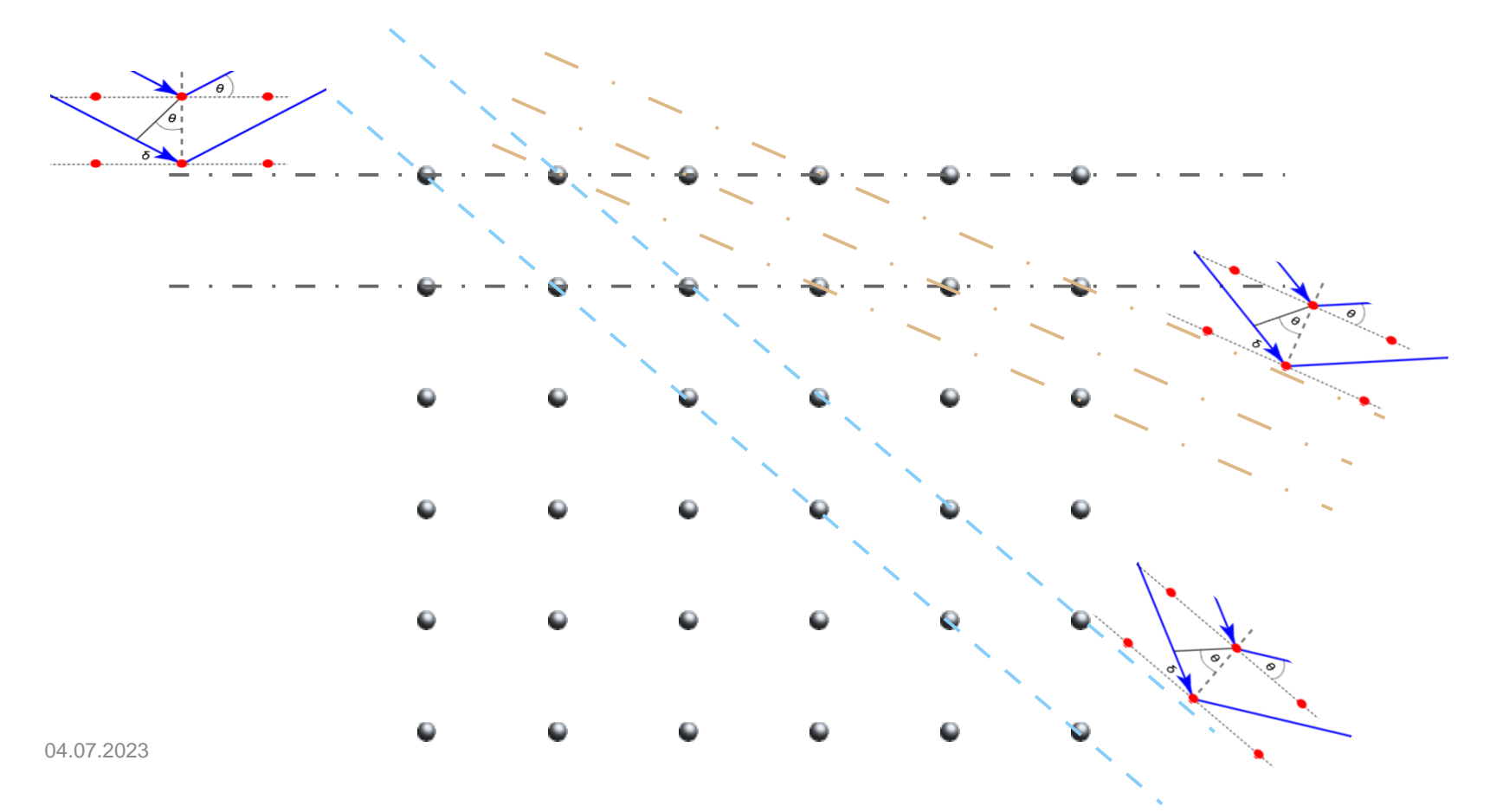
- scharfe Intensitätsmaxima unter Winkeln ∂ die die Bragg-Bedingung erfüllen
- **•** bei bekannter Wellenlänge folgt aus ϑ der Gitterebenenabstand d



Bragg Beugung



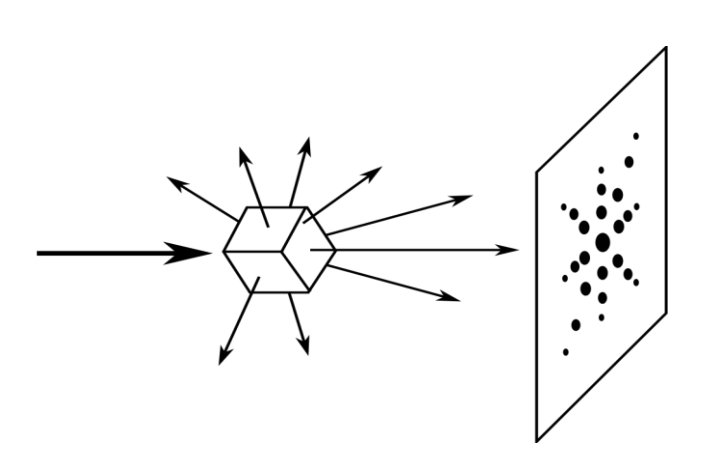
- es gibt viele Ebenen-Scharen, für die die Bragg-Bedingung erfüllt ist (s. Miller'sche Indizes für Kristrall-Ebenen)
- Verändert man die Orientierung des Kristalls relativ zur einfallenden Röntgenstrahlung, beobachtet man entsprechende Bragg-Reflexe
- es können auch Reflexe höherer Beugungs-Ordnung auftreten



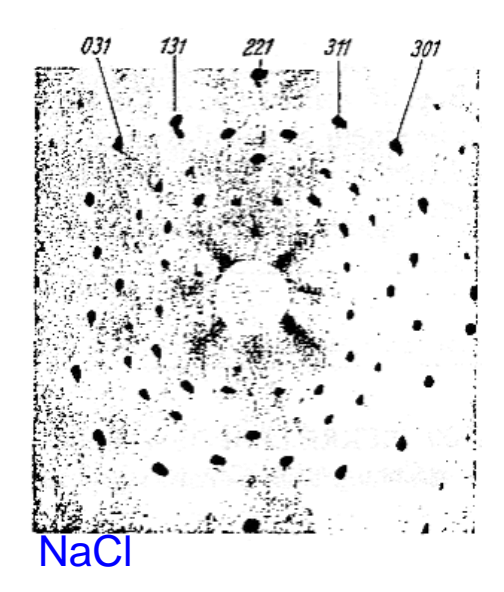
Röntgenbeugung nach Laue



- Verwendung von Röntgen-Bremsstrahlung
 → nicht monochromatisch
- Bestrahle Einkristall unter fester Orientierung
- Unterschiedliche Kristallebenen erfüllen gleichzeitig die Bragg Bedingung



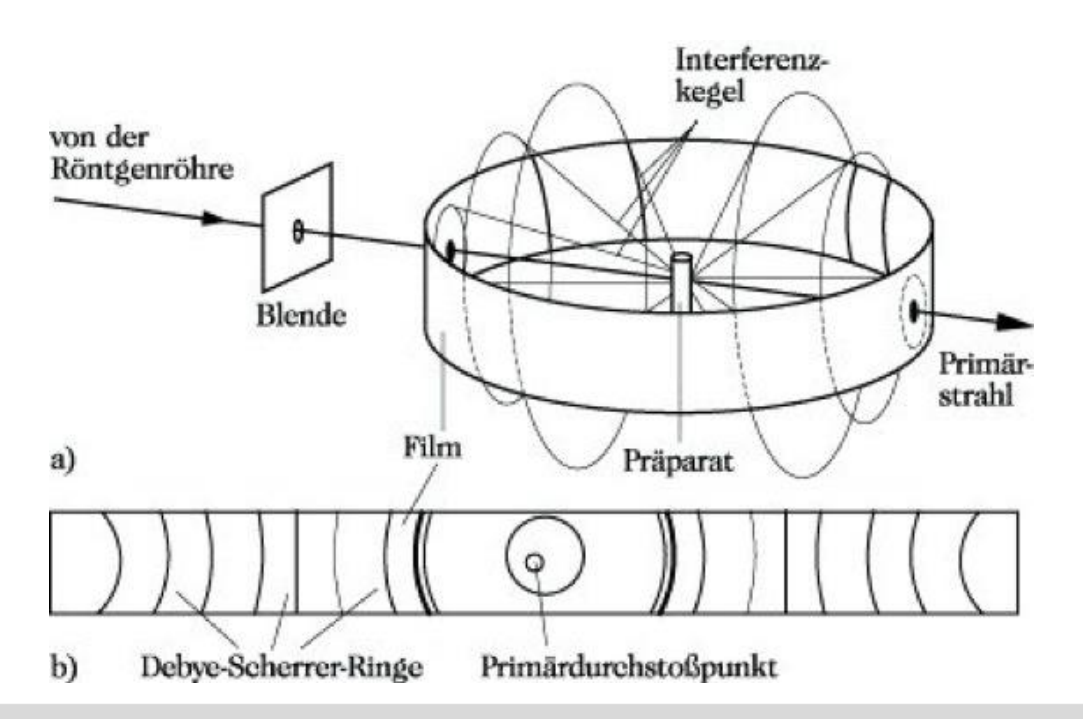
"Laue-Diagramm"

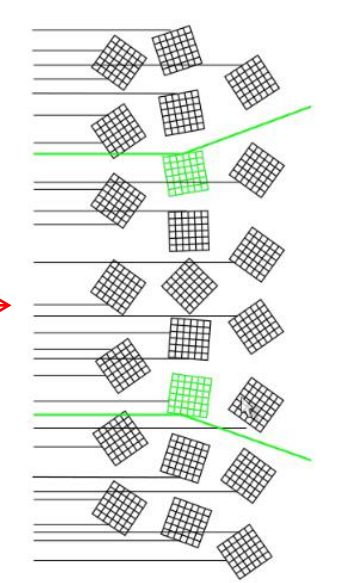


Debye-Scherrer Verfahren

Karlsruhe Institute of Technology

- Monochromatische Röntgenstrahlung
- Untersuchung von Kristallpulver
 - → zufällige Orientierungen der Kristalle
- Bragg-Bedingung immer für einige Kristallorientierungen erfüllt
- Rotationssymmetrie → konstruktive Interferenz auf Kegeln





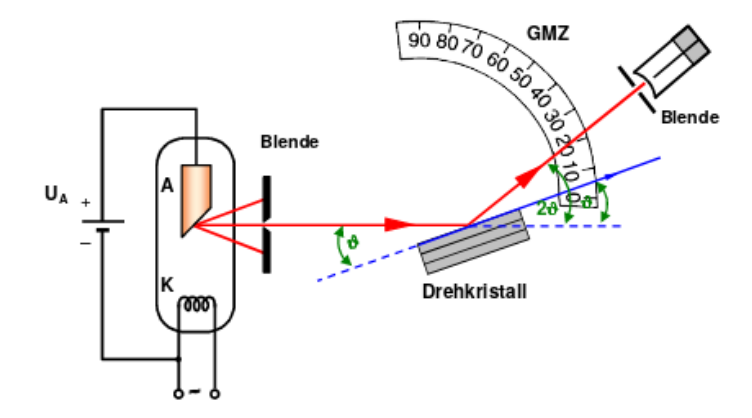
Röntgenbeugung im Praktikumsversuch

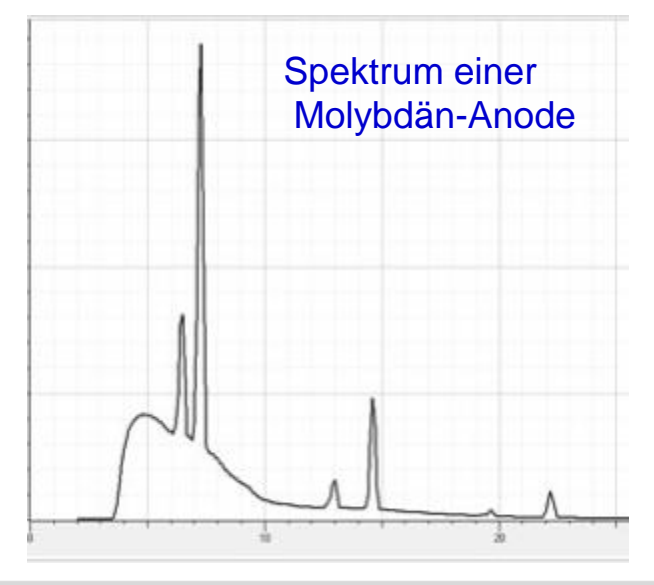


Modernes Röntgengerät für Praktika und Schule

- verschiedene Röntgenröhren
- Probenhalter mit Goniometer
- Absorptionsfilter zur Erzeugung
 - ~ monochromatischer Röntgenstrahlung







Röntgenbeugung

- Ebene Welle mit Wellenvektor \vec{k} wird von Gitteratomen an Orten $\vec{R}_m = m_1 \vec{a}_1 + m_2 \vec{a}_2 + m_3 \vec{a}_3$ elastisch gestreut und weit entfernt bei \vec{r} in Richtung \vec{k}' beobachtet
- Ebene Welle

$$A(\vec{R}_m) = A \exp(i\vec{k} \cdot \vec{R}_m)$$

 Am Beobachtungspunkt detektierte Gesamtamplitude aller Streuzentren

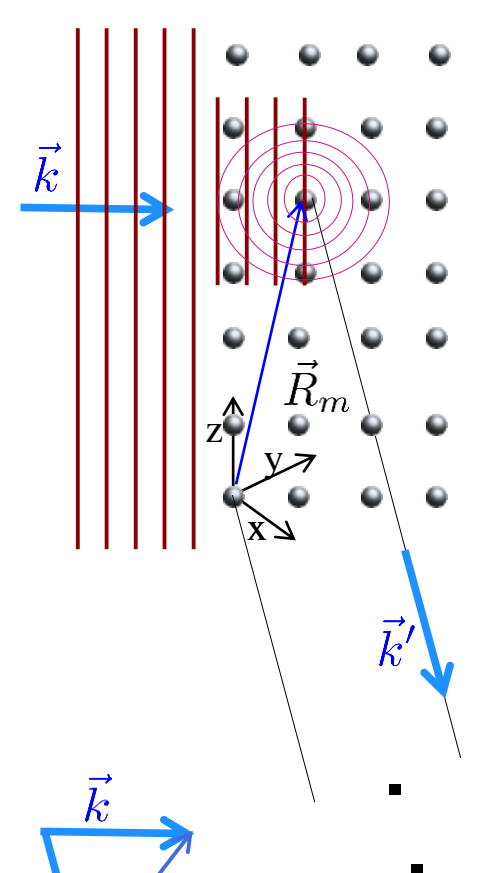
$$A(\vec{k}') = \sum_{m} \frac{A}{|\vec{r} - \vec{R}_{m}|} \exp(i\vec{k} \cdot \vec{R}_{m}) \exp(i\vec{k}'(\vec{r} - \vec{R}_{m}))$$
$$= \frac{A}{|\vec{r}|} \exp(ikr) \sum_{m} \exp(i\Delta \vec{k} \cdot \vec{R}_{m})$$

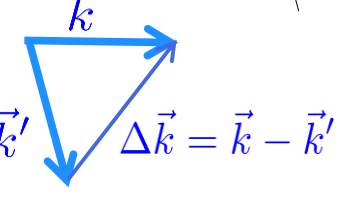
mit
$$\Delta \vec{k} = \vec{k}' - \vec{k}$$
; wird maximal für $\Delta \vec{k} \cdot \vec{R}_m = 2\pi n$

$$\Delta \vec{k} \cdot \vec{a}_1 = 2\pi h_1$$
$$\Delta \vec{k} \cdot \vec{a}_2 = 2\pi h_2$$

$$\Delta \vec{k} \cdot \vec{a}_3 = 2\pi h_3, \quad h_1, h_2, h_3 \in \mathbb{Z}$$

Laue Bedingungen







Das reziproke Gitter

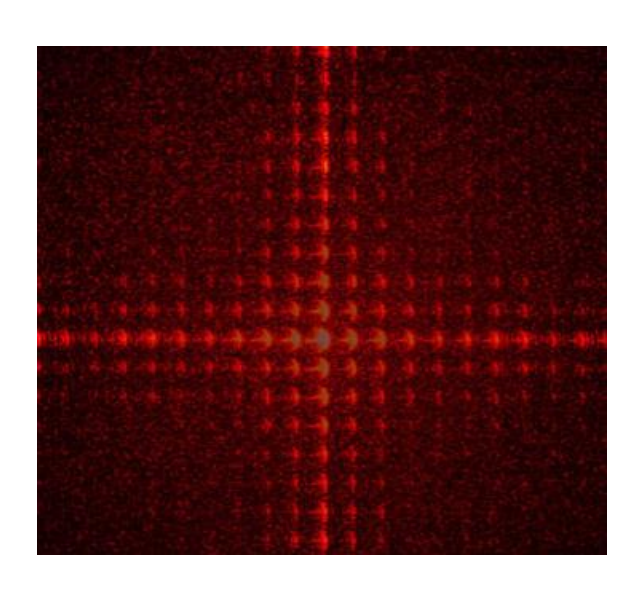


Vektoren $\Delta \vec{k}_{\rm h}$ die die Laue Bedingung erfüllen bilden selbst ein Gitter, das **reziproke Gitter**

Beispiel Optik: Beugungsmuster eines Kreuzgitters







→ Beugungsmuster eines Kristalls bildet das reziproke Gitter

Das reziproke Gitter



- Analogie zur Optik: Beugungsmuster ist die Fourier Transformierte der des beugenden Objekts
- Basisvektoren des reziproken Gitters (ohne Herleitung)

$$\vec{b}_1 = 2\pi \frac{\vec{a}_2 \times \vec{a}_3}{(\vec{a}_1 \times \vec{a}_2) \cdot \vec{a}_3} \qquad \vec{b}_2 = 2\pi \frac{\vec{a}_3 \times \vec{a}_1}{(\vec{a}_1 \times \vec{a}_2) \cdot \vec{a}_3} \qquad \vec{b}_3 = 2\pi \frac{\vec{a}_1 \times \vec{a}_2}{(\vec{a}_1 \times \vec{a}_2) \cdot \vec{a}_3}$$

Punkte im reziproken Gitter

$$\vec{G} = h_1 \vec{b}_1 + h_2 \vec{b}_2 + h_3 \vec{b}_3$$
, h_i heißen Laue Indizes

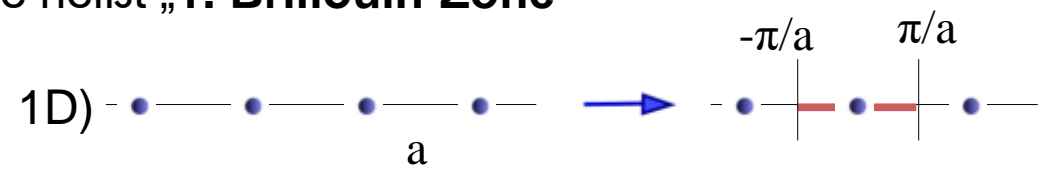
Skalarprodukt eines Gittervektors mit einem reziproken Gittervektor

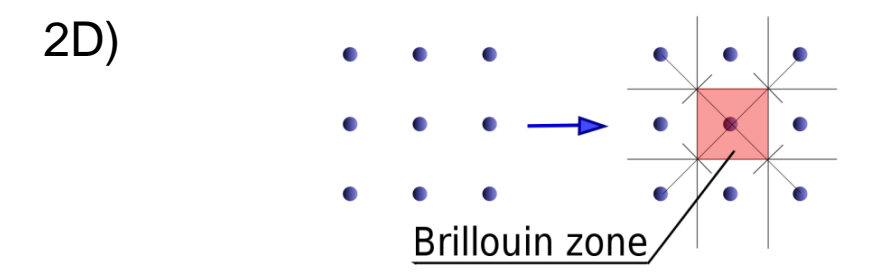
$$\vec{R} \cdot \vec{G} = 2\pi (m_1 h_1 + m_2 h_2 + m_3 h_3)$$

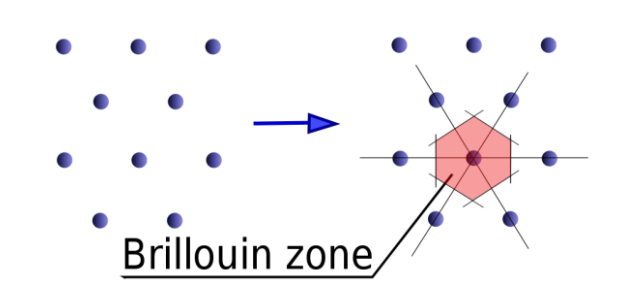
Die Brillouin Zone



Als **Elementarzelle des reziproken Gitters** wählt man die Mittelsenkrechten auf den Verbindungen zu allen benachbarten Gitterpunkten im reziproken Gitter. Sie heißt "1. Brillouin-Zone"

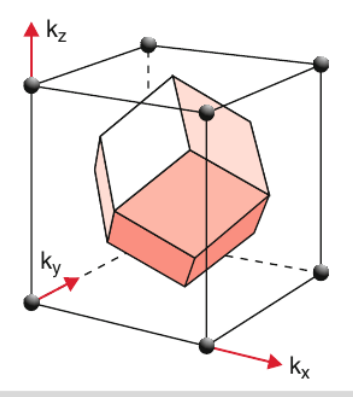






3D)

1. Brillouin-Zone
eines fcc-Gitters

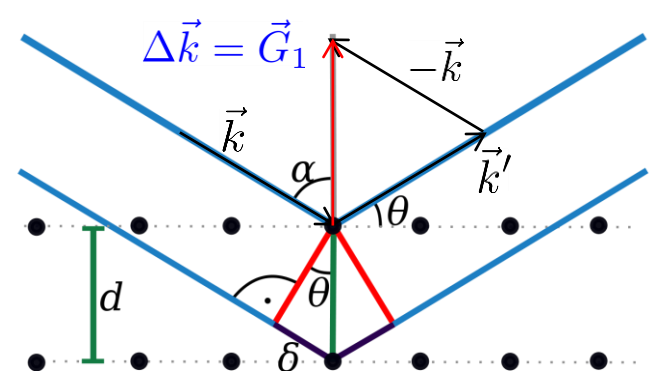


Beugung und reziprokes Gitter



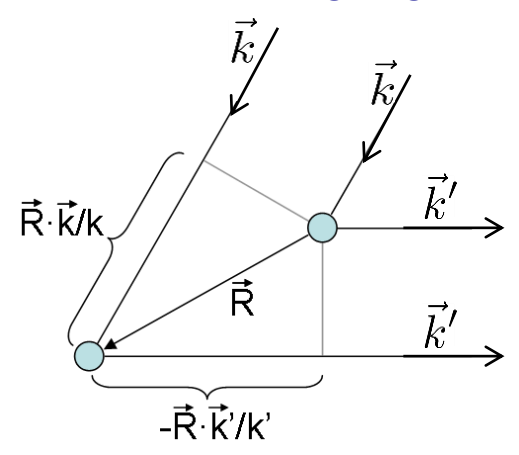
- Nonstruktive Interferenz tritt auf wenn $\Delta \vec{k} = \vec{G}$
- d.h. k-Vektoren die konstruktiv interferieren liegen auf dem Rand der Brillouin Zone

Bragg-Bedingung



mit $G_1 = \frac{2\pi}{d}$ für reziproken Gittervektor und $\Delta k = 2k \sin \theta$ folgt $2 d \sin \theta = n\lambda$

Laue Bedingung



$$\Delta \vec{k} \cdot \vec{R} = 2\pi n \Leftrightarrow \exp(i\,\Delta \vec{k} \cdot \vec{R}) = 1$$

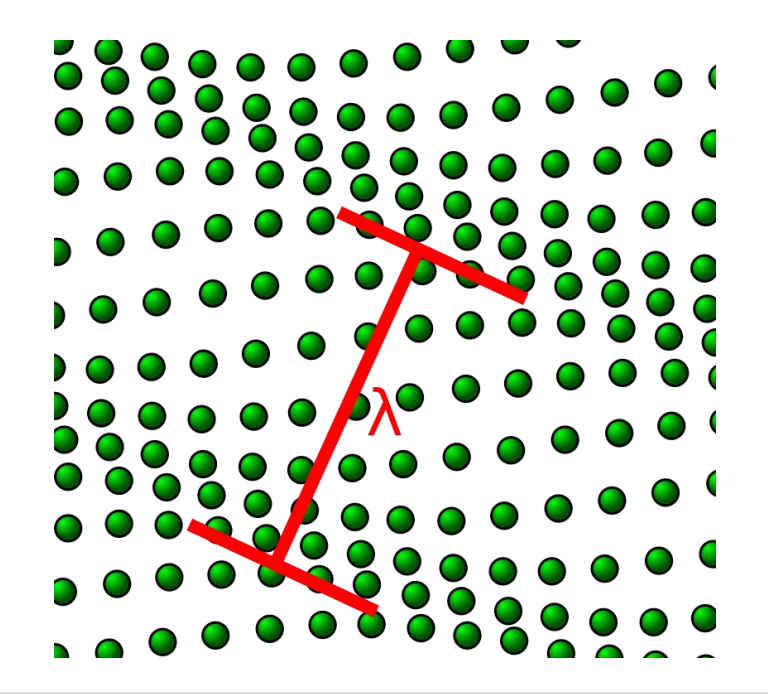
Bragg- und Laue-Bedingungen sind äqivalent

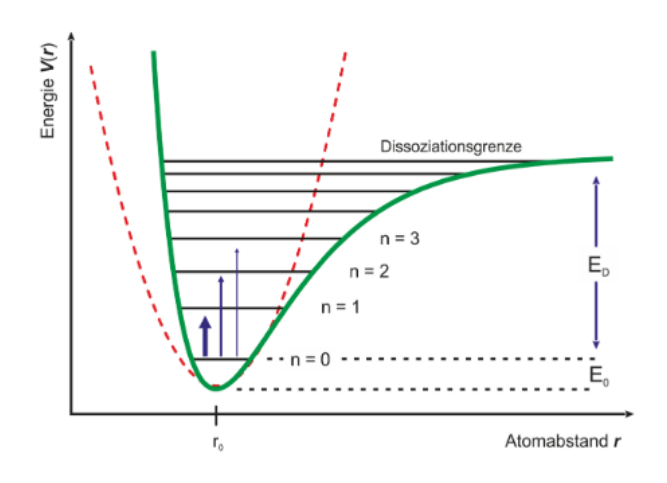
Jedem Punkt im reziproken Gitter entspricht eine Ebenenschar



Ionen bzw. Basis im Kristall durch Potential am Minimum gebunden

- **→** Gitterschwingungen
- für T>0: thermische Bewegung
- Ausbreitung von Wellen (Schallwellen)





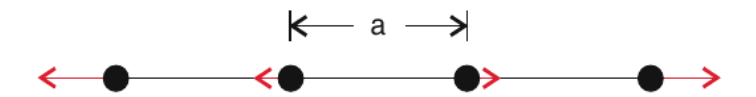
Longitudinale Welle in 2D-Gitter

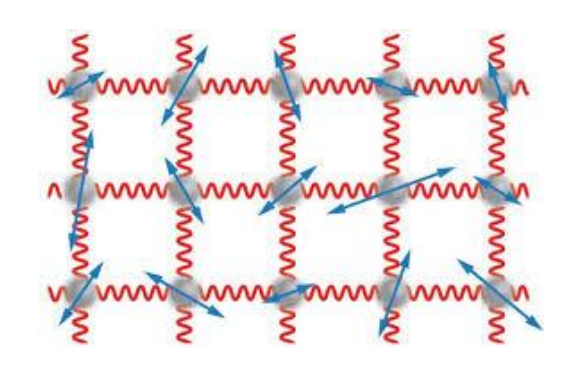
13



Beschreibung durch gekoppelte harmonische Oszillatoren

- Betrachte feste Netzebene s im Kristall
- Kräfte von allen Netzebenen $s \pm 1, s \pm 2, ... s \pm n$
- Vereinfache eine Netzebene auf 1 Atom
- → lineare Kette





Bewegungsgleichung

$$M \ddot{y}_s = \sum_n D_n (y_{s+n} - y_s)$$
 M Atommasse, D_s Federkonstante

Lösungsansatz

$$y_{s+n} = A \exp(i(kna - \omega_k t))$$
 $\rightarrow \ddot{y}_{s+n} = -\omega_k^2 y_{s+n}$



- Einsetzen: $-\omega_k^2 M = \sum_n D_n(\exp(ikna) 1)$

$$\to \omega_k^2 = \frac{2}{M} \sum_n D_n (1 - \cos(kna))$$

Näherung: Nur Wechselwirkung zwischen nächsten Nachbarn $\rightarrow n = 1$

$$\omega_k^2 = \frac{4D}{M} \sin^2\left(\frac{ka}{2}\right)$$

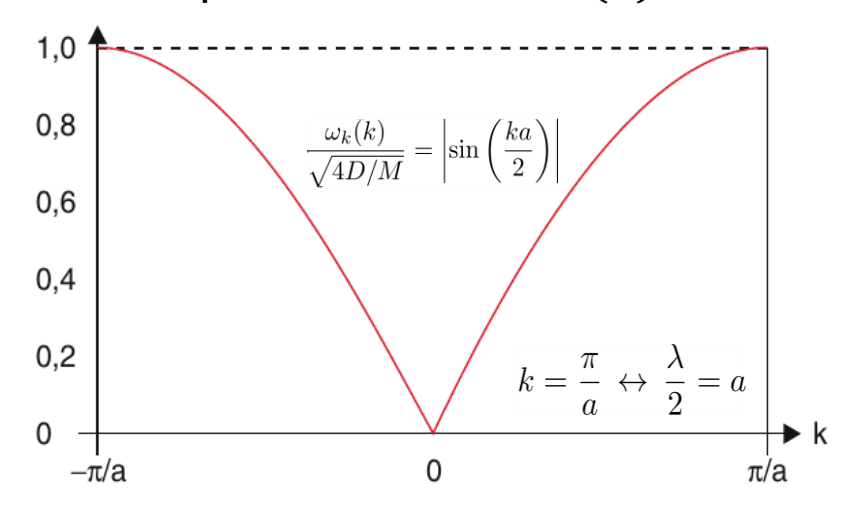
Größtmögliche Wellenzahl $k = \frac{\pi}{a}$ Größere Werte entsprechen Auslenkungen

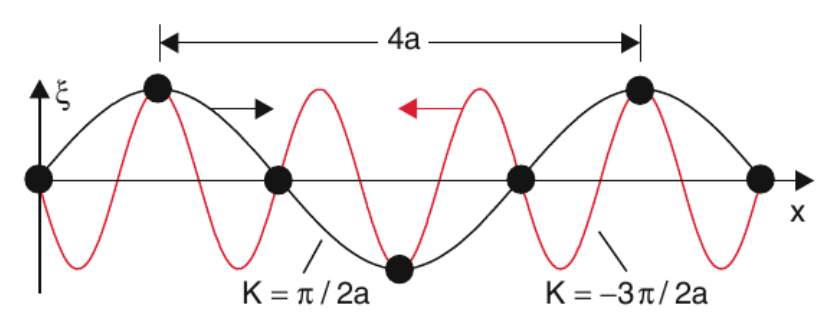
an Orten ohne Gitterbausteine

 $k > \frac{\pi}{a}$ führt zu gleichen Auslenkungen wie

$$k' = k \pm 2\pi/a \in [-\pi/a, \pi/a]$$

Dispersions relation $\omega(k)$







Phasengeschwindigkeit

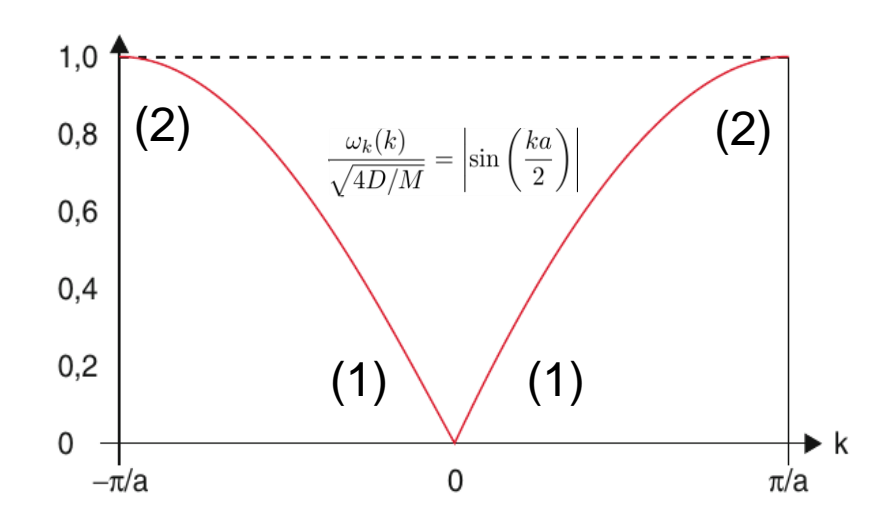
$$v_p = \frac{\omega}{k}$$

Gruppengeschwindigkeit

$$v_g = \frac{d\omega}{dk}$$

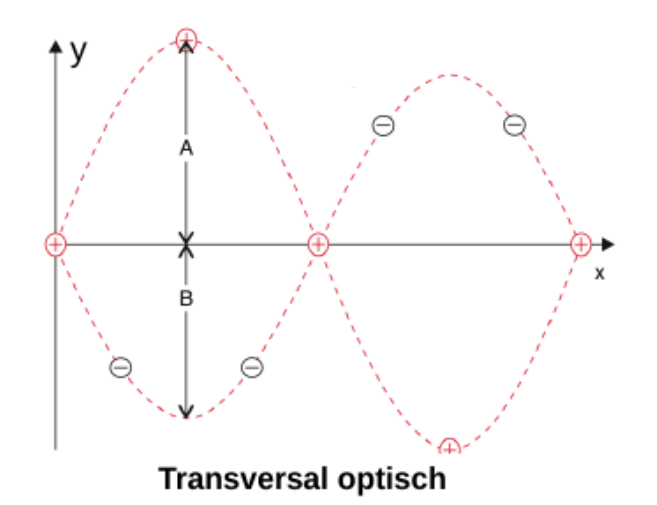
- (1) lineare Dispersion für $|k| \ll \pi/a$ (Schallwelle)
- (2) stehende Welle für $|k| = \pi/a$

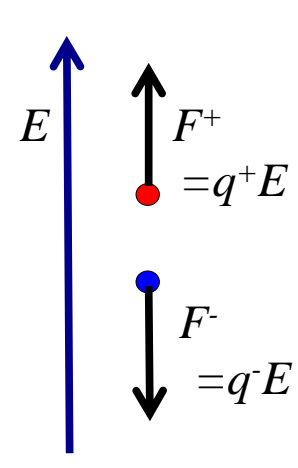
Erklärung: Wellen am Rand der Brillouin-Zone erfüllen Bragg-Bedingung und werden vollständig reflektiert → stehende Welle



Sarkrube Institute of Technology

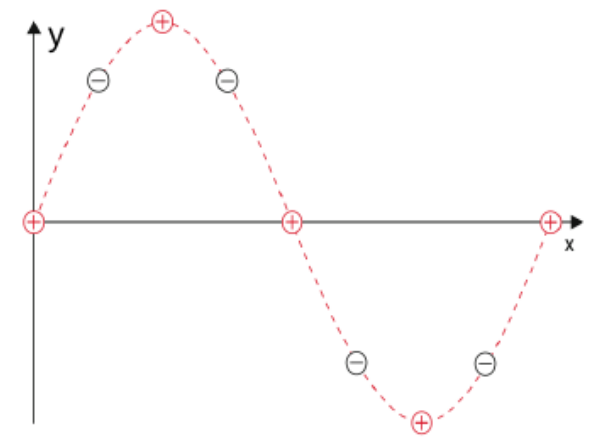
- Bei Kristallen mit (mind.) zweiatomiger Basis ist eine weitere Anregung möglich
- Ladungsunterschiede führen zu entgegengesetzten Kräften in einem elektrischen Feld
- optische Schwingungsmoden
- Zusätzlicher Zweig im Dispersionsdiagramm neben den akustischen Schwingungen







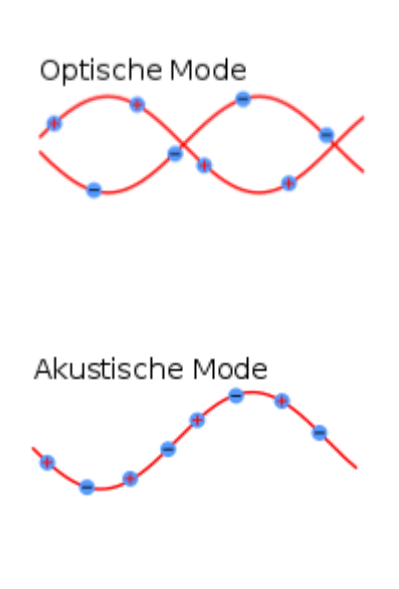


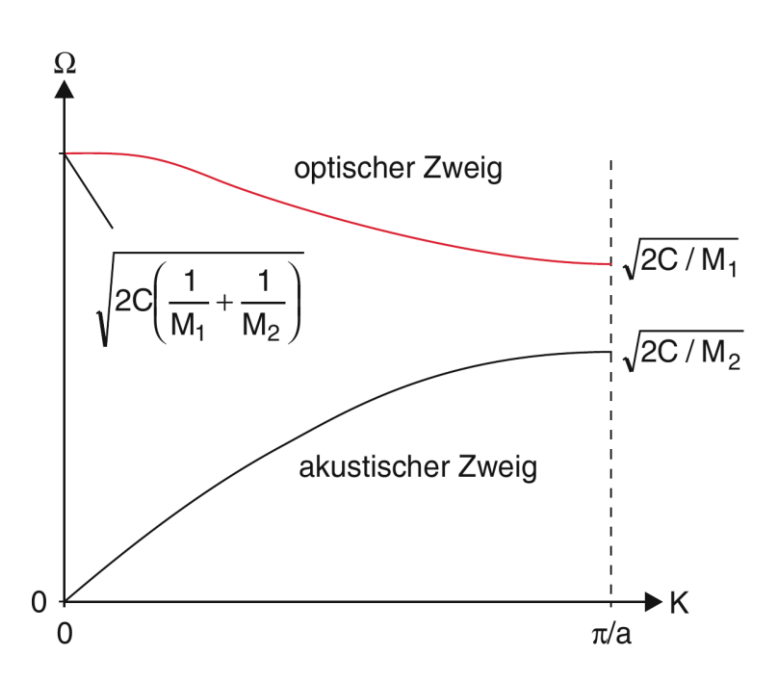


Transversal akustisch

Gitterschwingungen: Dispersionsrelation







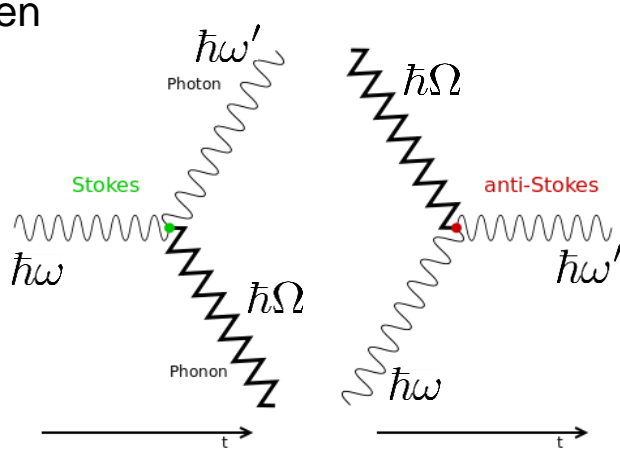
- Im optischen Zweig ist $\omega(k) \approx const.$ → ~ stehende Wellen
- Weitere Schwingungsmoden (akustisch longitudinal) und Anisotropien führen zu weiteren Zweigen bei realen Kristallen

Gitterschwingungen quantenmechanisch



Q.M. Harmonischer Oszillator: quantisierte Anregung **Phononen** = Quanten der Gitterschwingung

- Bosonen, "Quasi-Teilchen"
- Energie $E = \hbar \omega$, Impuls $\vec{p} = \hbar \vec{k}$
- Beschreibt die Änderung des Schwingungszustands des Gitters durch Aufnahme & Abgabe eines Quasi-Teilchens
- Anregung von Gitterschwingungen z.B. durch Photonen
 - → Photon Phonon Wechselwirkung



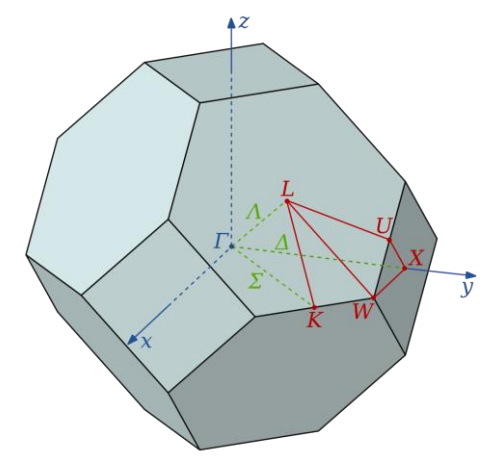
"Raman-Streuung"

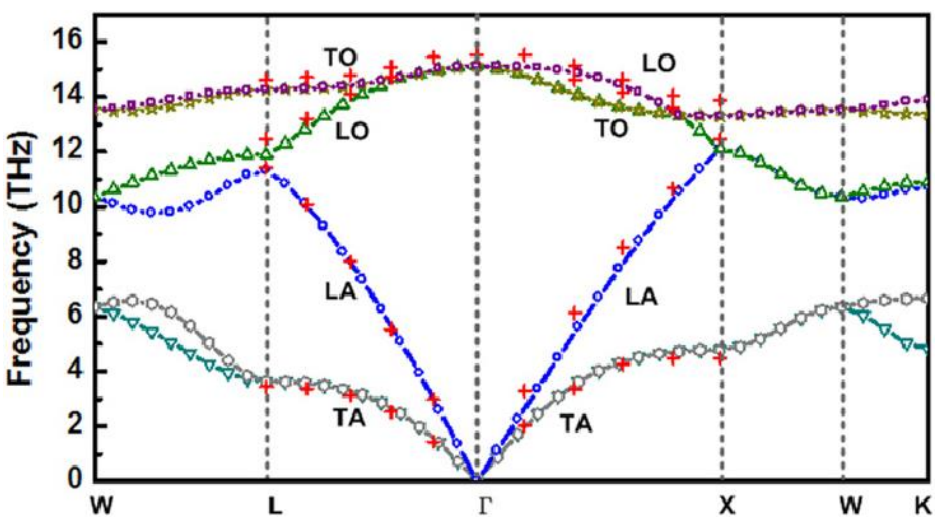
Reale Dispersionskurven



In realen (3D-) Gittern muss die Richtung angeben werden, entlang derer die Wellenzahl variiert

Erste Brillouin-Zone eines fcc-Gitters; reziprokes Gitters ist bcc.





Dispersionskurven entlang verschiedener Richtungen in der Brillouin-Zone eines Silizium-Kristalls (numerische Modellierung mit experimentellen Daten)

Richtungen:

Γ: Zentrum der Brillouin-Zone

L: Zentrum einer hexagonalen Fläche

X: Zentrum einer quadratischen Fläche

W: Eckpunkt

K: Kantenmitte

Wärmekapazität von Festkörpern



- Zunächst nur Beitrag des Gitters (Elektronenbeitrag später)
- Benötigte Wärmezufuhr zur Temperaturänderung eines Stoffes

$$c_V = \frac{\Delta Q}{m\Delta T}$$

- Thermodynamik: Innere Energie $U = \langle E \rangle$
 - → spezifische Wärmekapazität

$$c_V = \left(\frac{\partial U}{\partial T}\right)_{V=const}$$

Klassisch für Kristalle mit 3 Translationsfreiheitsgraden

$$c_v = 3R = 3Nk_B$$

Dulong-Petit-Gesetz

- Korrekt für Raumtemperatur,
- aber für $T \rightarrow 0$ $c_v \propto T^3$ experimentell beobachtet



Klassische Vorgehensweise:

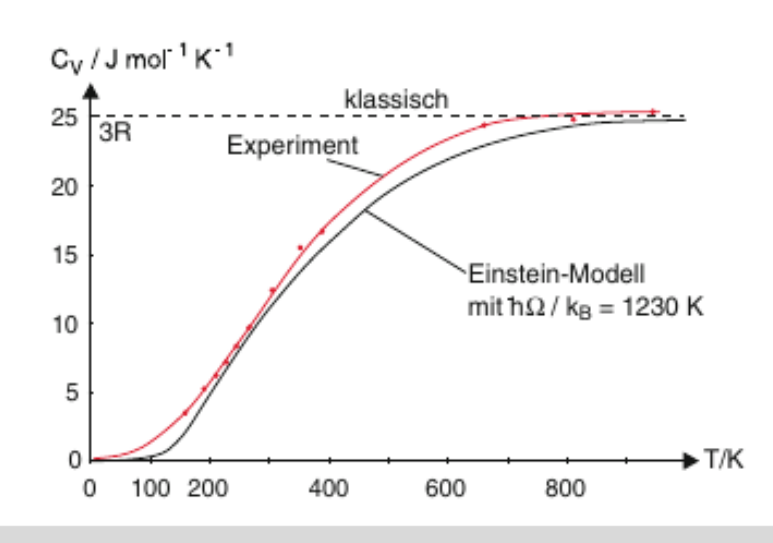
N Atome im Festkörper \rightarrow 3N Schwingungsmoden mit je kinetischer und potentieller Energie (2 Freiheitsgrade)

$$U(T) = f N\left(\frac{1}{2}k_B T\right) = 2 3N \frac{1}{2}k_B T = 3N k_B T \rightarrow c_v = \frac{\partial U}{\partial T} = 3N k_B$$

Quantenmechanisch

- Einstein postulierte: Analog zur Schwarzkörperstrahlung können Gitterschwinungen nur in Quanten mit $E = \hbar\Omega$ vom Festkörper aufgenommen / abgegeben werden
- lacktriangle Einfache Annahme: alle Gitterbausteine schwingen mit der gleichen Frequenz Ω
- Rechnung analog zu Schwarzkörperstrahlung:

beschreibt exp. Daten nicht perfekt





Genaueres Modell: Debye Modell

Berücksichtige Zustandsdichte

z.B.
$$\langle E \rangle = \int dE \ E \ D(E) f(T, E)$$

- Zustandsdichte: Zahl der stehenden Wellen im Volumen V
- Mögliche Wellenvektoren $\vec{k}_n^2 = \frac{\pi^2}{L^2} (n_x^2 + n_y^2 + n_z^2)$
- Für Phononen: zwei transversale und eine longitudinale Mode → Faktor 3
- Zahl der Zustände: $Z(|\vec{k}|) = 3\frac{1}{6\pi^2}|\vec{k}|^3 V = \frac{V}{2\pi^2}\frac{\omega_k^3}{v_p^3}$
- Annahme: $v_p^{long} = v_p^{trans}$
- **Zustandsdichte**: $D(E) = \frac{dZ}{d\omega_k} = \frac{3}{2} \frac{V}{\pi^2} \frac{\omega_k^2}{v_p^3}$



- lacktriangle mit korrekter Normierung (3N Zustände bis zur Maximalfrequenz ω_D
- Debye-Frequenz $\int_0^{\omega_- D} D(\omega_k) d\omega_k = 3N \rightarrow \omega_D = v_p \left(\frac{6\pi^2 N}{V}\right)^{\frac{1}{3}}$ $D(\omega_k) = \frac{9N}{\omega_D^3} \omega_k^2$
- Wähle Bose-Einstein Verteilung für die Innere Energie

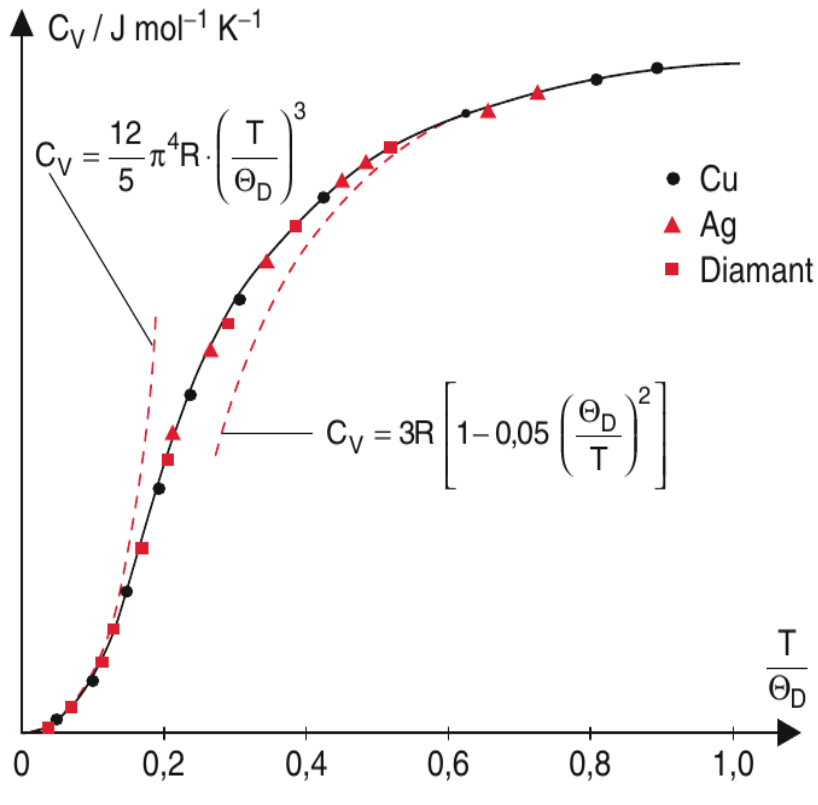
$$U = \langle E \rangle = \int dE \ E \ D(E) f_{BE}(T, E) = \frac{9N}{\omega_D^3} \int_0^W d\omega_k \ \omega_k^2 \cdot \frac{\hbar \omega_k}{\exp(\frac{\hbar \omega_k}{k_B T}) - 1}$$

Wärmekapazität

$$c_{v} = \frac{\partial \langle E \rangle}{\partial T} = \frac{9N}{\omega_{D}^{3}} \int_{0}^{W} d\omega_{k} \frac{\omega_{k}^{2} \left(\frac{\hbar \omega_{k}}{k_{B}T}\right)^{2} \exp\left(\frac{\hbar \omega_{k}}{k_{B}T}\right)}{\left(\exp\left(\frac{\hbar \omega_{k}}{k_{B}T}\right) - 1\right)^{2}}$$

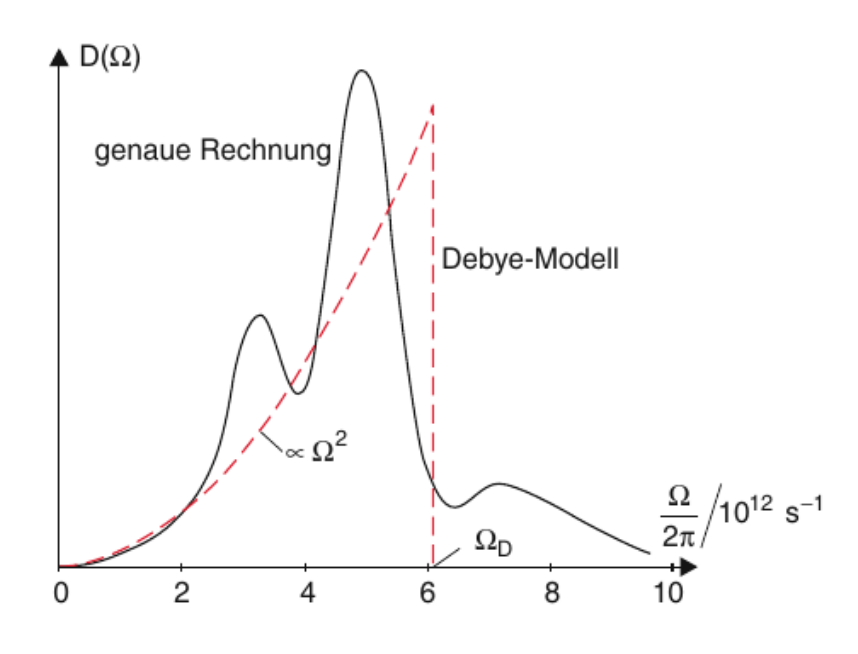


Definiere Debye Temperatur $\frac{\hbar\omega_D}{k_B}$ =: Θ_D



 $C_{\nu}(T)$ im Debye-Modell mit experimentellen Werten

In der Realität ist die Zustandsdichte komplizierter als im Debeye-Modell angenommen:



Zustandsdichte und Debye-Frequenz für NaCl, verglichen mit dem aus gemessenen Kraftkonstanten berechneten Verlauf